

Tetrakis(2-fluorophenylamino)silan und sein erstes Kondensationsprodukt N-(2-fluorophenyl)-Si, Si, Si, Si', Si', Si'-hexakis(2-fluorophenylamino)-disilazan. Synthesen und Kristallstrukturen

I. Mokros und M. Jansen*

Institut für Anorganische Chemie, Universität Bonn, D-53121 Bonn, Deutschland

Zusammenfassung. Tetrakis(2-fluorophenylamino)silan (**1**) wurde als Precursor zur Darstellung poröser, nitridischer Festkörper synthetisiert und mit Hilfe der Einkristallröntgenstrukturanalyse charakterisiert ($C2/c$; $a = 16.771(7)\text{ \AA}$, $b = 16.827(5)\text{ \AA}$, $c = 16.753(6)\text{ \AA}$, $\beta = 111.00(2)^\circ$, $z = 8$). Beim Erhitzen mit Ammoniumcarbamat als Katalysator wurde N-(2-fluorophenyl)-Si, Si, Si, Si', Si', -hexakis(2-fluorophenylamino)disilazan (**2**) als erstes Kondensationsprodukt isoliert ($P\bar{1}$; $a = 9.331(1)\text{ \AA}$, $b = 13.698(5)\text{ \AA}$, $c = 16.164(4)\text{ \AA}$, $\alpha = 90.34(2)^\circ$, $\beta = 103.03(2)^\circ$, $\gamma = 103.04(3)^\circ$, $Z = 2$).

Tetrakis(2-fluorophenylamino)silane and its First Product of Condensation N-(2-fluorophenyl)-Si, Si, Si, Si', Si', Si'-hexakis(2-fluorophenylamino)disilazane. Syntheses and Crystal Structures

Summary. The synthesis and crystal structure determination of silanetetramine $N,N',N'',N'''2$ -fluorophenyl($C2/c$; $a = 16.771(7)\text{ \AA}$, $b = 16.827(5)\text{ \AA}$, $c = 16.753(6)\text{ \AA}$, $\beta = 111.00(2)^\circ$, $z = 8$) are reported. In a search for suitable condensation pathways to silicon/nitrogen based porous solids, N-(2-fluorophenyl)-Si, Si, Si, Si', Si', Si'-hexakis(2-fluorophenylamino)disilazane (**2**) has been obtained from the ammonium carbamate catalyzed condensation of the silanetetramine in teflon lined autoclaves. The X-ray crystal structure determination ($P\bar{1}$; $a = 9.331(1)\text{ \AA}$, $b = 13.698(5)\text{ \AA}$, $c = 16.164(4)\text{ \AA}$, $\alpha = 90.34(2)^\circ$, $\beta = 103.03(2)^\circ$, $\gamma = 103.04(3)^\circ$, $Z = 2$) shows the disilazane to be a dimer formed by linear condensation from the monomeric silazane.

Keywords. Condensation; Crystal structure; Disilazane; Silanetetramine.

Einleitung

Die besonderen Eigenschaften und Einsatzmöglichkeiten zeolithischer Festkörper folgen aus deren charakteristischen, gerüstartigen Strukturen aus einem relativ starren Netzwerk eckenverknüpfter SiO_4 - und AlO_4 -Tetraeder. Der Austausch der verbrückenden Sauerstoffatome durch isovalenzelektronische NR-Gruppen würde zu porösen Silicium-Stickstoff-Gerüsten führen, die in der Natur nicht bekannt sind. Solche Molekularsiebe dürften sich durch hydrophobe Kanäle und Käfige auszeichnen und deshalb von besonderem Interesse sein.

In Anlehnung an das Aufbauprinzip der oxidischen Vorbilder [1] ist es naheliegend, bei der Synthese von den zur Orthokieselsäure isovalenzelektronischen Aminanaloga auszugehen und diese durch Polykondensation zu vernetzen.

Die Hydolyseempfindlichkeit der gerüstbildenden Si-N-Bindungen [2] könnte die Anwendbarkeit dieser Festkörper sehr einschränken. Aus diesem Grunde muß der N-Substituent *R* so gewählt werden, daß er sterisch und elektronisch stabilisierend wirkt und im Verlauf der Kondensation als „inneres“ Templat strukturdirezierend wirken kann. Je nach Anwendungszwecken könnten Art und Ausmaß der durch Kondensation der Silantetramine entstehenden Gerüststrukturen über die Eigenschaften der N-Substituenten maßgeschneidert werden.

In einem ersten Schritt haben wir Tetrakis(2-fluorophenylamino)silan synthetisiert und seine Kristallstruktur ermittelt. Bei orientierenden Versuchen zu seiner Vernetzung in teflonverschalten Autoklaven konnten wir ein dimeres Kondensationsprodukt isolieren und durch Einkristallstrukturanalyse charakterisieren.

Ergebnisse und Diskussion

Die Darstellung von Silantetraminen gelingt in Anlehnung an Reynolds [5] durch vollständige Aminolyse von Siliciumtetrachlorid. Die geringe Basizität von 2-Fluoranilin macht eine vorherige Umsetzung des Amins mit *n*-Butyllithium zum Lithiumsalz erforderlich.

Tetrakis(2-fluorophenylamino)silan (**1**) kristallisiert in der Raumgruppe C2/c. Das Siliciumatom (siehe Abb. 1) ist tetraedrisch von vier Stickstoffatomen umgeben, wobei die C–F-Bindung des jeweiligen 2-Fluorophenylrestes bezüglich der N–H-Bindung koplanar angeordnet ist. Die ermittelten Bindungslängen und -winkel entsprechen der für SiN-Verbindungen dieser Art erwarteten Größenordnung [2] (siehe Tabellen 2 und 3).

Die erwünschte Stabilisierung der SiN-Zielverbindung durch den N-Substituenten dokumentiert sich offenkundig in der geringen Hydrolyseempfindlichkeit. Zeigt Tetrakis(phenylamino)silan noch Neigung zur Hydrolyse [6], so läßt sich **1** problemlos atmosphärisch handhaben und aufbewahren.

Ein Vergleich der ^{29}Si -NMR-Daten von Tetraminosilanen (Tabelle 8) zeigt, daß der für **1** ermittelte Wert von $\delta = -57.02$ ppm gegenüber den hydrolyseempfindlichen N-alkyl- und N-aryl-Homologen hochfeldverschoben ist. Dies ist das Resultat einer stärkeren elektronischen Abschirmung des Si-Kerns und kann als Indiz für die stabilisierende Wirkung des N-Substituenten bezüglich der Hydrolyse gewertet werden.

Auf der Suche nach geeigneten Vernetzungsreaktionen, die vom monomeren Silazan zum dreidimensionalen porösen Festkörper führen sollten, haben wir **1** in teflonverschalten Druckaufschlußgefäß schen vernetzt. Als Katalysator erschien uns das bei Transaminierungsreaktionen an Aminosilanen erfolgreich eingesetzte Ammoniumcarbamid [7] besonders geeignet. In Umkehrung der Bildungsreaktion setzt es bei gelindem Erwärmen NH_3 und CO_2 frei [8]. Auf diesem Wege konnten wir erstmalig ein kristallines offenkettiges N-Organyl-hexaminodilazan isolieren und die Molekülstruktur mit Hilfe der Einkristallröntgenstrukturanalyse ermitteln. Die Kristallstrukturanalyse weist das neue Silazan als ein formal durch Kondensation zweier monomerer Silantetraminmoleküle (**1**) gebildetes Molekül aus (Abb. 2).

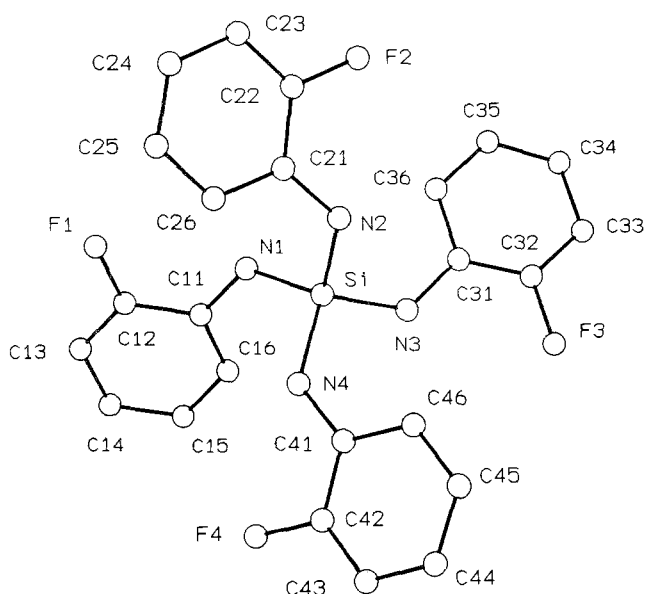


Abb.1. Molekülstruktur von $C_{24}H_{20}N_4F_4Si$ (**1**)

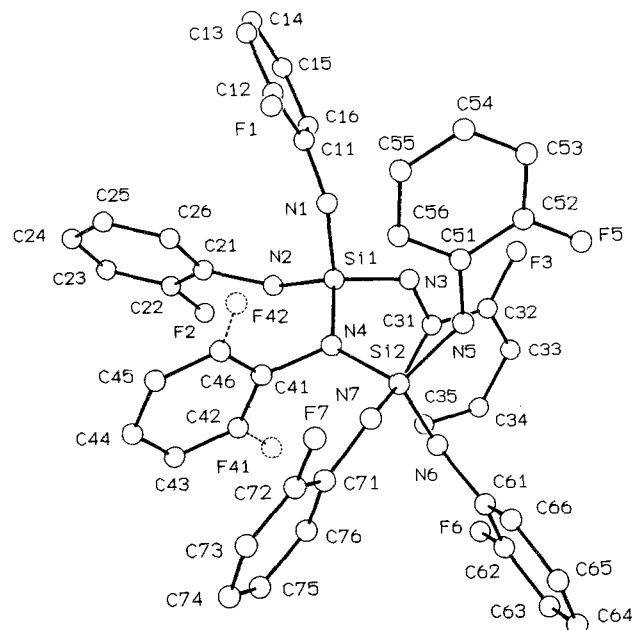


Abb. 2. Molekülstruktur von $C_{42}H_{34}N_7F_7Si_2$ (**2**)

N-(2-fluorophenyl)-Si, Si, Si, Si', Si', Si'-hexakis(2-fluorophenylamino)disilazan (**2**) kristallisiert in der Raumgruppe $P\bar{1}$. Die Siliciumatome des Disilazans sind über eine N-aryl-Gruppe verbunden, wobei der Winkel Si–N–Si $129.3(3)^\circ$ beträgt (Tabelle 7). Wie beim monomeren **1** erfolgt die Orientierung der Arylreste unter dem Gesichtspunkt der Coplanarität der C–F und N–H-Bindungen. Da das verbrückende N-Atom valenzmäßig abgesättigt ist und kein Proton trägt, entfällt für diesen N-Substituenten die bevorzugte Ausrichtung. Daher findet man bei der Lösung der Kristallstruktur [3] am verbrückenden N-Atom einen Phenylsubstituenten, der

bezüglich der Ausrichtung der C–F-Bindung zwei äquivalente Orientierungen annehmen kann. Im Mittel ergeben sich zwei Fluorpositionen, denen ein Besetzungsfaktor von 1/2 zugewiesen wird. Die bei 2 ermittelten Bindungslängen und -winkel (Tabellen 6 und 7) entsprechen den für molekulare SiN-Verbindungen typischen Werten [2].

Erwartungsgemäß erweist sich das Disilazan infolge des höheren Kondensationsgrades als in der Laboratmosphäre stabil. ^{29}Si -NMR-Untersuchungen an silikatischen Festkörpern [9] zeigen, daß die Größenordnung der chemischen Verschiebung δ des NMR-Signals beim Übergang von Inselsilikaten zu Disilikaten hochfeldver-

Tabelle 1. Kristallographische Daten zur Strukturbestimmung

Verbindung	1	2
Summenformel	$\text{C}_{24}\text{H}_{20}\text{N}_4\text{F}_4\text{Si}$	$\text{C}_{42}\text{H}_{34}\text{N}_7\text{F}_7\text{Si}_2$
Kristallgröße	$0.5 \times 0.3 \times 0.1 \text{ mm}$	$0.5 \times 0.3 \times 0.1 \text{ mm}$
Meßtemperatur	293(2) K	293(2) K
Raumgruppe	C2/c (Nr. 15)	P $\bar{1}$ (Nr. 2)
Zelldimensionen		
$a [\text{\AA}]$	16.771(7)	9.331(1)
$b [\text{\AA}]$	16.827(5)	13.698(5)
$c [\text{\AA}]$	16.753(6)	16.164(4)
$\alpha [^\circ]$	90	90.34(2)
$\beta [^\circ]$	111.00(2)	103.03(2)
$\gamma [^\circ]$	90	103.04(3)
$V [\text{\AA}^3]$	4413.9(28)	1957.2(10)
$\rho_{\text{ber}} [\text{g} \cdot \text{cm}^{-3}]$	1.410	1.400
Z	8	2
$\mu [\text{cm}^{-1}]$	0.160	0.166
Wellenlänge	0,71069 Å; Graphitmonochromator	
Art der Messung		$\Omega/\theta - \text{scan}$
hkl – Bereich	$-3 \leq h \leq 19$ $-4 \leq k \leq 20$ $-19 \leq l \leq 15$	$-2 \leq h \leq 8$ $-13 \leq k \leq 12$ $-15 \leq l \leq 15$
θ – Bereich	$1.78 \leq \theta \leq 24.98$	$1.30 \leq \theta \leq 19.98$
gemessene Reflexe	8452	5460
Verfeinerung		Full-Matrix Least-Squares über F^2
R (int)	0.011	0.016
R (σ)	0.019	0.073
Anzahl Parameter	309	532
Goodness-of-Fit		
für F^2	1.116	1.262
R -Wert	0.0702	0.0493
Anzahl Reflexe mit $F > 4\sigma(F)$	2566	2124
$R = \frac{\sum \ F_{\text{O}} - F_{\text{C}}\ }{\sum F_{\text{O}} }$		

schenken wird. Überraschenderweise findet man für die beiden Aminanaloge ein entgegengesetztes Ergebnis.

Das ^{29}Si -NMR-Experiment liefert für **2** ein Signal mit der chemischen Verschiebung von $\delta = -52.59$ ppm.

Experimentelles

Tetrakis (2-fluorophenylamino) silan (1)

Darstellung und Eigenschaften: 100 ml Toluol werden mit 0.16 mol *n*-Butyllithium (100 ml einer 1.6 molaren Lösung von *n*-Butyllithium in *n*-Hexan, Riedel de Haën) versetzt. Dieser Mischung werden bei

Tabelle 2. Atomkoordinaten und isotrope Auslenkungsparameter U_{eq}^{a} von **1**

Atom	x/a	y/b	z/c	$U_{\text{eq}}(\text{\AA}^2)$
Si	0.24229(7)	0.28280(7)	0.74768(8)	0.0404(4)
N1	0.3313(2)	0.2276(2)	0.7991(2)	0.0474(10)
N2	0.1669(2)	0.2147(2)	0.6943(2)	0.0464(9)
N3	0.1966(2)	0.3365(2)	0.8064(3)	0.0478(10)
N4	0.2753(2)	0.3518(2)	0.6912(2)	0.0471(10)
C11	0.3401(3)	0.1552(3)	0.8418(3)	0.0414(10)
C12	0.4085(3)	0.1054(3)	0.8512(3)	0.0502(12)
C13	0.4198(4)	0.0334(3)	0.8923(4)	0.0627(14)
C14	0.3610(4)	0.0088(3)	0.9273(3)	0.0625(14)
C15	0.2925(3)	0.0560(3)	0.9196(3)	0.0592(14)
C16	0.2816(3)	0.1286(3)	0.8777(3)	0.0514(12)
F1	0.4653(2)	0.1299(2)	0.8163(2)	0.0769(10)
C21	0.0784(3)	0.2227(3)	0.6524(3)	0.0418(10)
C22	0.0241(3)	0.1593(3)	0.6438(3)	0.0521(12)
C23	-0.0624(3)	0.1630(4)	0.6007(4)	0.0654(15)
C24	-0.0977(3)	0.2342(4)	0.5656(4)	0.070(2)
C25	-0.0471(3)	0.2993(4)	0.5736(3)	0.0630(14)
C26	0.0406(3)	0.2946(3)	0.6164(3)	0.0544(13)
F2	0.0586(2)	0.0910(2)	0.6770(3)	0.0964(12)
C31	0.2226(3)	0.4105(3)	0.8457(3)	0.0436(11)
C32	0.1644(3)	0.4692(3)	0.8436(3)	0.0495(12)
C33	0.1877(4)	0.5427(3)	0.8800(3)	0.0627(15)
C34	0.2720(4)	0.5602(3)	0.9205(3)	0.0629(14)
C35	0.3324(4)	0.5038(3)	0.9242(3)	0.0617(14)
C36	0.3084(3)	0.4289(3)	0.8879(3)	0.0557(13)
F3	0.5822(2)	-0.0479(2)	0.8047(3)	0.0917(11)
C41	0.3346(3)	0.3417(2)	0.6511(3)	0.0417(10)
C42	0.3949(3)	0.3994(3)	0.6557(3)	0.0493(11)
C43	0.4565(3)	0.3908(4)	0.6193(3)	0.0618(14)
C44	0.4579(3)	0.3222(4)	0.5750(3)	0.0653(15)
C45	0.3985(4)	0.2646(3)	0.5686(3)	0.0639(14)
C46	0.3376(3)	0.2737(3)	0.6053(3)	0.0550(13)
F4	0.3927(2)	0.4665(2)	0.6988(2)	0.0751(9)

^a U_{eq} wird berechnet als ein Drittel der Spur des orthogonalen Tensors U_{ij}

– 78 °C 0.16 mol (15.4 ml) 2-Fluoranilin (99%, Aldrich) zugesetzt. Man lässt auf Raumtemperatur erwärmen und gibt tropfenweise 0.04 mol (5 ml) Siliciumtetrachlorid 99% (Riedel de Haën) zu. Anschließend wird die Reaktionsmischung 2 h gerührt. Nach Abtrennung des entstandenen Niederschlags fallen bei 2 °C innerhalb von 3–4 d ca. 6.0 g transparente, tafelförmige Kristalle (Smp. 148 °C) aus. MS: $m/z = 468$ (100%) $[M]^+$, 357 (8%) $[M-H_2NR]^+$, 246 (39%) $[M-2H_2NR] + 111$ (29%) $H_2NR]^+$, 91 (33%) $[H_2NR-HF]^+$; $R = C_6H_4F$

Kristallstrukturanalyse: Die-Kristall- und Molekülstruktur wurde durch Einkristallröntgenstrukturanalyse ermittelt (Enraf-Nonius CAD4 Vierkreisdiffraktometer). Tabelle 1 fasst die kristallographischen Daten und die Details der Datensammlung zusammen. Die Struktur konnte durch Anwendung direkter Methoden (SHELXS-86) [3] gelöst und anschließend verfeinert werden (SHELXL-93) [4]. Die Positionen der H-Atome wurden unter Annahme sp^2 -hybridisierter C- und N-Atome konstruiert und isotrop verfeinert. Tabelle 2 enthält die ermittelten Atomkoordinaten und isotropen Auslenkungsparameter. Bindungsabstände und -winkel sind in Tabelle 3 und 4 wiedergegeben.

N-(2-fluorophenyl)-Si,Si,Si,Si',Si'-hexakis (2-fluorophenylamino) disilazan (2)

Darstellung und Eigenschaften: 1 mmol (0.468 g) Silantetramin werden in 20 ml Toluol gelöst und in einen mit 0.50 mmol (0.04 g) Ammonium-carbamat (98%, Fluka) beschickten teflonverkleideten Autoklaven gegeben. Dieser wird 6 d auf 60 °C gehalten. Die organische Phase wird vom

Tabelle 3. Ausgewählte Bindungsabstände in 1 (Å)

Si–N2	1.703(4)	Si–N3	1.707(4)
Si–N1	1.707(4)	Si–N4	1.710(4)
N1–C11	1.393(5)	N2–C21	1.402(6)
N3–C31	1.403(6)	N4–C41	1.396(5)
C12–F1	1.348(5)	C22–F2	1.317(6)
C32–F3	1.329(6)	C42–F4	1.348(5)

Tabelle 4. Ausgewählte Bindungswinkel in 1 (°)

N2–Si–N3	104.9(2)	N2–Si–N1	104.5(2)
N3–Si–N1	119.3(2)	N2–Si–N4	119.5(2)
N3–Si–N4	105.1(2)	N1–Si–N4	104.5(2)
C11–N1–Si	130.3(3)	C21–N2–Si	130.7(3)
C31–N3–Si	127.7(3)	C41–N4–Si	127.7(3)
N1–C11–C16	122.8(4)	F1–C12–C13	119.7(4)
F1–C12–C11	116.9(4)	C22–C21–N2	121.3(4)
C26–C21–N2	122.3(4)	F2–C22–C23	119.0(5)
F2–C22–C21	117.2(4)	C32–C31–N3	121.6(4)
C36–C31–N3	121.9(4)	F3–C32–C33	119.6(4)
F3–C32–C31	117.3(4)	C42–C41–N4	121.5(4)
C46–C41–N4	122.7(4)	F4–C42–C43	119.5(4)
F4–C42–C41	117.1(4)		

Tabelle 5. Atomkoordinaten und isotrope Auslenkungsparameter von **2**

Atom	x/a	y/b	z/c	U^a (\AA^2)
Si1	0.4570(2)	0.69684(15)	0.29608(14)	0.0492(6)
Si2	0.7206(2)	0.86182(15)	0.25745(13)	0.0481(6)
N1	0.5419(6)	0.6047(4)	0.3379(4)	0.055(2)
N2	0.2744(6)	0.6472(4)	0.2418(4)	0.056(2)
N3	0.4484(6)	0.7744(4)	0.3776(3)	0.052(2)
N4	0.5628(6)	0.7634(4)	0.2310(3)	0.0453(15)
N5	0.8251(6)	0.8529(4)	0.3573(3)	0.053(2)
N6	0.6601(6)	0.9703(4)	0.2577(4)	0.057(2)
N7	0.8389(6)	0.8642(4)	0.1903(4)	0.056(2)
C11	0.4745(9)	0.5144(6)	0.3689(5)	0.056(2)
C12	0.5345(10)	0.4324(7)	0.3671(5)	0.073(2)
C13	0.4740(12)	0.3396(7)	0.3908(6)	0.089(3)
C14	0.3455(13)	0.3275(7)	0.4207(6)	0.090(3)
C15	0.2835(10)	0.4083(8)	0.4262(6)	0.087(3)
C16	0.3462(9)	0.5010(6)	0.4007(5)	0.071(2)
F1	0.6649(6)	0.4453(3)	0.3379(4)	0.114(2)
C21	0.2047(9)	0.5613(6)	0.1865(5)	0.053(2)
C22	0.0515(11)	0.5433(7)	0.1494(5)	0.062(2)
C23	-0.0271(10)	0.4630(8)	0.0957(6)	0.078(3)
C24	0.0476(14)	0.3930(8)	0.0772(6)	0.092(3)
C25	0.2001(13)	0.4063(7)	0.1139(6)	0.084(3)
C26	0.2782(9)	0.4902(7)	0.1661(5)	0.069(2)
F2	-0.0233(5)	0.6133(4)	0.1687(3)	0.0883(15)
C31	0.3713(7)	0.8503(5)	0.3775(5)	0.044(2)
C32	0.3586(9)	0.8933(6)	0.4525(6)	0.059(2)
C33	0.2862(10)	0.9680(6)	0.4566(7)	0.074(3)
C34	0.2229(9)	1.0054(6)	0.3825(8)	0.075(3)
C35	0.2290(8)	0.9652(6)	0.3054(6)	0.067(2)
C36	0.3029(8)	0.8878(6)	0.3025(5)	0.057(2)
F3	0.4227(5)	0.8545(3)	0.5258(3)	0.0776(13)
C41	0.5182(10)	0.7285(6)	0.1419(6)	0.059(2)
C42	0.4109(12)	0.7648(8)	0.0850(7)	0.078(3)
C43	0.3725(12)	0.7366(9)	-0.0014(8)	0.107(4)
C44	0.4423(16)	0.6684(11)	-0.0295(8)	0.126(5)
C45	0.5487(14)	0.6316(8)	0.0259(9)	0.105(4)
C46	0.5864(12)	0.6583(7)	0.1117(7)	0.077(3)
F41	0.3576(10)	0.8251(8)	0.1080(6)	0.074(3)
F42	0.6683(10)	0.6210(7)	0.1575(7)	0.072(3)
C51	0.9074(8)	0.7822(6)	0.3919(5)	0.048(2)
C52	0.9835(9)	0.7945(6)	0.4765(6)	0.058(2)
C53	1.0665(9)	0.7295(8)	0.5154(5)	0.071(3)
C54	1.0720(9)	0.6469(7)	0.4692(6)	0.069(3)
C55	1.0001(9)	0.6336(6)	0.3845(6)	0.064(2)
C56	0.9182(8)	0.7002(6)	0.3454(5)	0.056(2)
F5	0.9763(5)	0.8758(4)	0.5227(3)	0.0829(14)
C61	0.7385(10)	1.0711(6)	0.2548(4)	0.056(2)
C62	0.6631(11)	1.1451(7)	0.2508(5)	0.067(2)

(contd.)

Tabelle 5. (Continued)

Atom	x/a	y/b	z/c	$U^a(\text{\AA}^2)$
C63	0.7284(14)	1.2450(8)	0.2482(5)	0.085(3)
C64	0.8779(17)	1.2731(7)	0.2472(6)	0.100(4)
C65	0.9576(12)	1.2002(8)	0.2494(6)	0.096(3)
C66	0.8903(11)	1.1002(7)	0.2544(5)	0.077(3)
F6	0.5129(7)	1.1196(4)	0.2522(3)	0.099(2)
F71	0.8220(9)	0.8837(5)	0.1040(5)	0.054(2)
C72	0.9201(10)	0.8576(6)	0.0586(6)	0.068(2)
C73	0.9124(14)	0.8714(7)	-0.0251(7)	0.098(3)
C74	0.7973(16)	0.9101(8)	-0.0705(7)	0.108(4)
C75	0.6992(11)	0.9394(8)	-0.0291(7)	0.099(3)
C76	0.7111(9)	0.9268(6)	0.0576(6)	0.073(3)
F7	1.0345(6)	0.8191(4)	0.1042(3)	0.100(2)

^a U_{eq} wird berechnet als ein Drittel der Spur des orthogonalen Tensors U_{ij}

entstandenen amorphen Polymerisat und unter verminderter Druck bis zum Auftreten einer leichten Trübung eingeengt. Über Nacht kristallisierten bei 2 °C ca. 0.07 g farblose Prismen (Smp. 167 °C). MS: $m/z = 825$ (12) [M]⁺, 174 (13%) [M-H₂NR]⁺, 603 (7%) [M-2H₂NR]⁺, 493 (9%) [M-3H₂NR]⁺ + 1, 111 (100%) [H₂NR]⁺; R = C₆H₄F

Kristallstrukturanalyse: Die Daten zur Kristallstrukturanalyse (Enraf–Nonius CAD4 Vierkreisdiffraktometer) des isolierten Disilazans sind in Tabelle 1 zusammengestellt. Die Molekülstruktur wurde mit Hilfe direkter Methoden mit den Programmen SHELXS-86 und SHELXL-93 [3, 4] gelöst bzw. verfeinert. Die unter Annahme sp²-hybridisierter C- und N- Atome konstruierten H-Positionen wurden isotrop verfeinert. Die erhaltenen Atomkoordinaten und isotropen Auslenkungsparameter sind in Tabelle 5 wiedergegeben. Tabelle 6 und 7 enthalten die ermittelten Bindungsabstände und -winkele.

Tabelle 6. Ausgewählte Bindungsabstände in 2 (Å)

Si1–N1	1.703(6)	Si1–N2	1.712(6)	Si1–N3	1.715(6)
Si1–N4	1.729(5)	Si2–N6	1.704(6)	Si2–N5	1.708(6)
Si2–N7	1.710(6)	Si2–N4	1.726(6)	N1–C21	1.405(8)
N2–C21	1.409(8)	N3–C31	1.391(8)	N5–C51	1.410(8)
N6–C61	1.416(9)	N7–C71	1.402(9)	N4–C41	1.452(9)
C12–F1	1.377(8)	C22–F2	1.379(8)	C32–F3	1.370(8)
C42–F41	1.154(11)	C46–F42	1.148(11)	C52–F5	1.359(8)
C62–F6	1.371(9)	C72–F7	1.366(9)		

Tabelle 7. Ausgewählte Bindungswinkel in ${}^{\circ}$

N1–Si1–N2	110.8(3)	N1–Si1–N3	108.9(3)
N2–Si1–N3	106.7(3)	N1–Si1–N7	108.6(3)
N2–Si1–N4	111.5(3)	N3–Si1–N4	110.3(3)
N5–Si2–N4	107.5(3)	N5–Si2–N6	111.6(3)
N4–Si2–N6	106.3(3)	N5–Si2–N7	107.8(3)
C11–N1–Si1	127.6(5)	C21–N2–Si1	133.5(5)
C31–N3–Si1	130.8(5)	C51–N5–Si2	132.0(5)
C61–N6–Si2	130.4(5)	C71–N7–Si2	131.7(5)
C41–N4–Si2	115.0(4)	C41–N4–Si1	115.7(4)
Si2–N4–Si1	129.3(3)	C12–C11–N1	119.8(7)
C16–C11–N1	124.1(7)	C13–C12–F1	118.2(9)
C11–C12–F1	116.8(8)	C22–C21–N2	119.5(7)
C26–C21–N2	124.8(8)	C23–C22–F2	119.0(9)
F2–C22–C21	116.5(8)	C32–C31–N3	121.6(7)
N3–C31–C36	122.3(7)	C33–C32–F3	119.8(9)
F3–C32–C31	115.9(8)	C42–C41–N7	120.9(8)
C46–C41–N7	120.2(8)	F4–C42–C41	119.9(11)
F4–C42–C43	118.0(13)	F4–C46–C45	120.0(12)
F4–C46–C41	121.2(11)	C52–C51–N5	119.4(7)
C56–C51–N5	123.6(7)	F5–C52–C53	118.9(8)
F5–C52–C51	117.8(8)	C62–C61–N6	119.5(8)
C66–C61–N6	124.0(7)	C61–C62–F6	118.3(8)
F6–C62–C63	117.5(10)	C76–C71–N7	124.7(8)
C72–C71–N7	119.9(8)	C73–C72–F7	118.9(10)
F7–C72–C71	116.3(8)		

Tabelle 8. ${}^{29}\text{Si}$ -NMR-Verschiebungswerte einiger SiN-Verbindungen

Verbindung	δ [ppm]	Lit.
Si(HNMe) ₄	–34,80	[10]
Si(NMe ₂) ₄	–28,60	[11]
Si(HN-n-Bu) ₄	–40,45	[12]
Si(HNPh) ₄	–54,82	[12]
Si(HNPh-o-Cl) ₄	–54,84	[12]
Si(HNPh-o-F) ₄ (1)	–57,02	diese Arbeit
{(F-o-PhNH) ₃ Si} ₃ NPh-o-F (2)	–52,59	diese Arbeit

Dank

Wir danken dem *Fonds der chemischen Industrie* und der *Deutschen Forschungsgemeinschaft* für die Unterstützung mit Sachmitteln.

Literatur

- [1] Breck DW (1974) *Zeolite Molecular Sieves*. Wiley, New York
- [2] Wannagat U (1964) *Adv Chem Radiochem*: 225–278
- [3] Sheldrick G (1986) Programme for Crystal Structure Determination Version SHELXS-86
- [4] Sheldrick G (1993) Programme for Crystal Structure Determination Version SHELXS-93
- [5] Reynolds JE (1889) *J Chem Soc* **5**: 474
- [6] Andrianov KA, Il'In MM, Talanov VN, Isakova LS, Sidorenko NA (1976) *Polym Sci USSR* **18**: 3147
- [7] Kanner B, King RE (1990) *Am Chem Soc* **224**: 607
- [8] Beilstein E₄ III 37
- [9] Lippmaa E, Mägi M, Samoson A, Engelhardt G, Grimmer A-R (1980) *J Am Chem Soc* **102**: 4889
- [10] Jansen M, Löffelholz J (1991) Diplomarbeit, *Löffelholz*, Universität Bonn
- [11] van den Berghe EV, van der Kelen GP (1976) *J Organomet Chem* **122**: 329
- [12] Pikies J, Wojnowski W (1983) *Z Anorg Allg Chem* **521**: 173

Received March 16, 1995. Accepted (revised) May 2, 1995